

تحلیل خیر خطی استاتیکی بارافزون

**Nonlinear Static Pushover Analysis or
Static Pushover Analysis**



اهداف تحلیل استاتیکی غیرخطی بار افزون: هدف از تحلیل بارافزون برآورده رفتار مورد انتظار یک سیستم سازه‌ای به کمک تخمین مقاومت و تغییر شکل تقاضا بوسیله انجام یک تحلیل استاتیکی غیر خطی، تحت اثر زلزله‌های طراحی و سپس مقایسه مقادیر تقاضا با ظرفیتهای موجود در سطح رفتاری یا عملکردی مورد نظر می‌باشد. این برآورد براساس شناسایی پارامترهای مهم رفتاری شامل تغییر مکان جانبی بام، نسبت تغییر مکان نسبی طبقات، تغییر شکل‌های غیراستیک اعضاء، تغییر شکل‌های نسبی اعضاء و اتصالات و ... خواهد بود. **تحلیل استاتیکی غیرخطی بارافزون** را می‌توان روشنی در تخمین نیرو و تغییر مکان تقاضا دانست که به طریقی ساده عمل بازنویسی نیروهای داخلی را در اعضا می‌یابیم که نیروهایی بیش از نیروهای حد الاستیک خود متتحمل شده‌اند انجام می‌دهد. به عبارت دیگر هدف از این تحلیل، ارزیابی عملکرد مورد انتظار از سیستم سازه‌ای با تخمین نیازهای مقاومت و تغییر شکل در زلزله طرح و مقایسه این نیازها با ظرفیتهای موجود در سطوح عملکرد مورد نظر می‌باشد. ارزیابی توسط پارامترهای مهم عملکرد از قبیل تغییر شکل کلی سازه، تغییر شکل‌های بین طبقات، تغییر شکل غیر خطی اعضاء تغییر شکل المانها و نیرو در اتصالات (برای اعضا و اتصالاتی که نمی‌توانند تغییر شکل‌های غیر ارجاعی را تحمل کنند) انجام می‌شود.



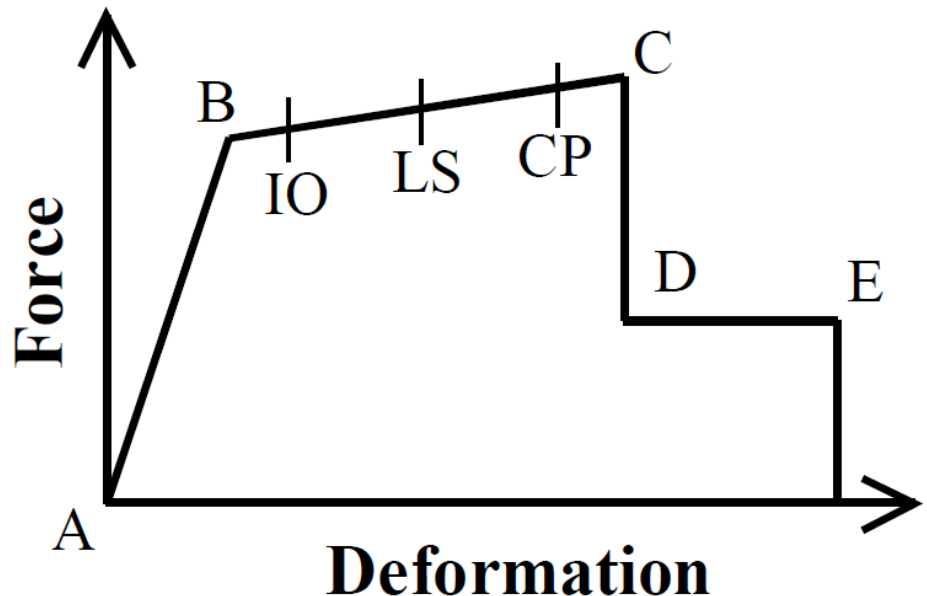
هدف

- فرض کنید قصد داریم یک سازه خاص را برای سطح عملکردی ایمنی جانی ارزیابی کنیم. سازه را تحلیل استاتیکی غیرخطی (پوش آور) می‌کنیم تا منحنی ظرفیت سازه (بر حسب برش پایه-تغییر مکان جانبی بام) بدست آید.
- در این منحنی برای سطح عملکردی ایمنی جانی تا یک حد معین تغییر مکان جانبی، منحنی نیرو-تغییر شکل هیچ کدام از اعضای سازه نباید در محدوده تغییر مکانهای فراتر از ایمنی جانی قرار گیرد. اگر در بعضی از اعضا نیرو یا تنش از این مقادیر بیشتر شود، این اعضا باید تقویت شوند.

Performance Levels

سطوح عملکرد سازه

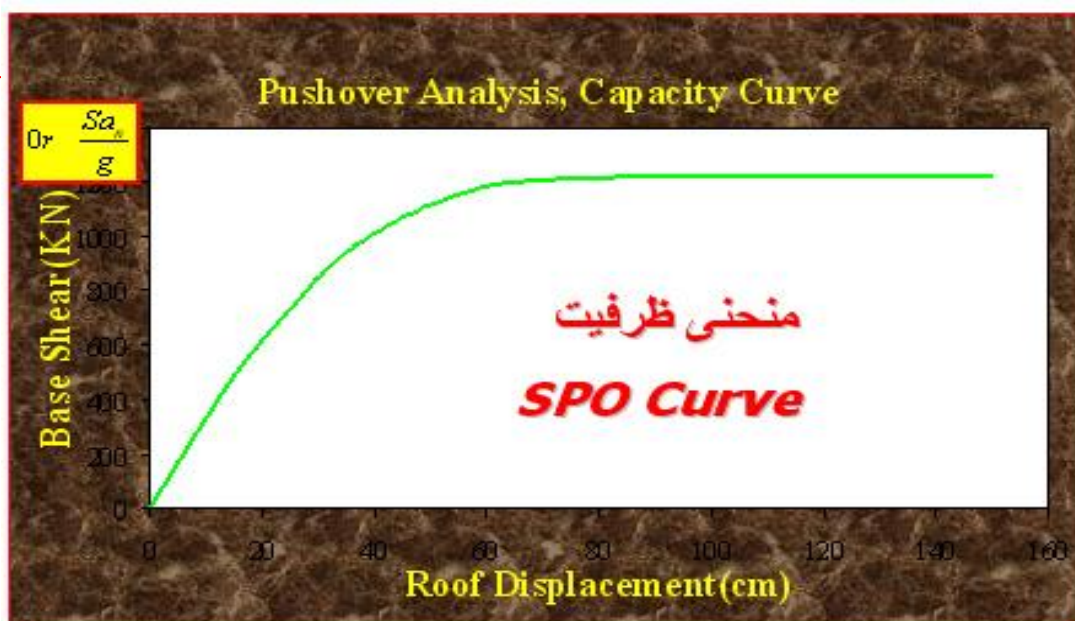
- **Operational**
خدمت رسانی بی وقفه
- **Immediate Occupancy**
قابلیت استفاده بی وقفه
- **Life Safety**
ایمنی جانی
- **Collapse Prevention**
آستانه فروریزش



تعریف تحلیل استاتیکی غیرخطی بارافزون

تحلیل بارافزون یک تحلیل استاتیکی غیرخطی تحت اثر بارهای جانبی افزایش یابنده است. یکی از مهمترین نتایج این تحلیل تعیین نمودار بار- تغییر مکان یا منحنی ظرفیت (**Capacity Curve**) می باشد. برای رسم این نمودار معمولاً از مقادیر برش پایه در مقابل تغییر مکان جانبی نقطه مرجع تراز بام استفاده می شود. از این نمودار می توان به کمک روش طیف ظرفیت برای تعیین تغییر مکان هدف استفاده نمود. در ضمن این تحلیل یکی از روشها برای تعیین ضریب رفتار لرزه ای در آین

نامه ها نیز می باشد.



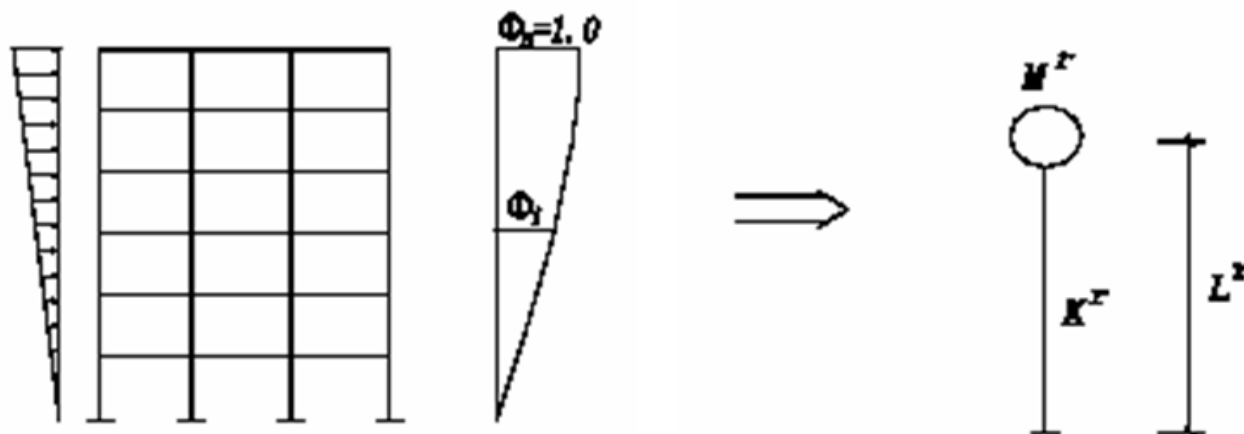
تحلیل بارافزون استاتیکی غیرخطی

Nonlinear Static Pushover analysis(NSP)
(SPO)

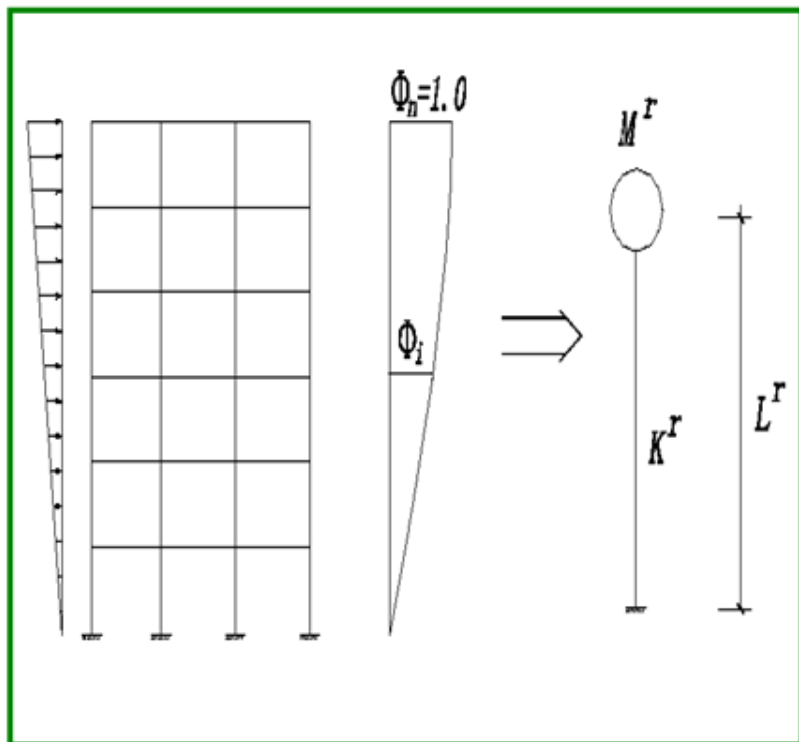
PushOver Analysis(POA)

فرضیات:

- ۱- پاسخ سازه چند درجه آزادی را می توان به پاسخ سیستم یک درجه آزادی معادل مرتبط نمود. این بدان معنی است که پاسخ توسط یک مود ارتعاش کنترل می شود.
- ۲- تابع شکلی که در اینجا همان شکل مود ارتعاش یکی از مودهای ارتعاش است در طول تحلیل ثابت باقی می ماند.
بدیهی است هر دو فرضیه درست نمی باشند ولی در تجربه نتایج قابل قبولی ارائه می نمایند به شرطی که پاسخ دینامیکی سازه بیشتر در یک مود ارتعاش تعریف گردد.



• تحلیل استاتیکی بارافزون بر این اصل استوار است که پاسخ سازه را میتوان با پاسخ سیستم یک درجه آزادی با مشخصه های معادل شده شبیه سازی نمود. این فرض به معنی آنست که پاسخ سازه، تنها وابسته به یک مود تغییر شکلی (شکل مود اول ارتعاش) بوده و شکل آن در طول زمان تحلیل ثابت باقی میاند.



چنین فرضیاتی وقتی به واقعیت نزدیک هستند که (الف) پاسخ سازه بطور قابل ملاحظه ای متأثر از اثر مودهای ارتعاش بالاتر نباشد، (ب) ساختمان تنها دارای یک نوع مکانیزم کلی جاری شدن بوده بطوری که توسط شکل توزیع بار ثابت قابل دسترسی باشد.



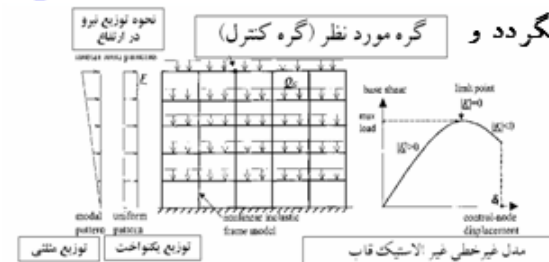
مراحل انجام تحلیل استاتیکی غیر خطی بارافزون NSP و ترسیم منحنی SPO

۱- برش پایه بصورت گام به گام افزایش می یابد .

$$V_{0 \rightarrow V_{\max}} \Rightarrow V = 0, V_1, V_2, V_3, \dots, V_{\max}$$

For Example: $V = 0, 5, 10, 12, 14, 20, 25, 27, \dots, 45, 51, \dots, 100, 105$

۲- در هر گام مطابق الگوی بار مشخص برش پایه در تراز طبقات توزیع



می گردد . مدل ارجاعی سازه تعریف میگردد و
بارهای نقلی سازه بر روی تیرها قرار داده
می شوند. سپس برش پایه مطابق الگوی
بار مورد نظر، در تراز طبقات توزیع می
گردد.

۳- قاب تحت تأثیر این نیروهای جانبی تحلیل استاتیکی غیر خطی می شود.

۴- تکرار مرحله ۱ الی ۳ : این عمل آن قدر ادامه می یابد تا اعضای سازه ای بتدربیج
وارد مرحله غیراستیک شوند و سپس سازه نایابیدار شود یا یکی از حالات حدی
رفتاری روی دهد. تعداد گامهای افزایشی با تعیین یک پارامتر تغییر مکانی محدود کننده
کنترل می شود. در صورت تجاوز تغییر مکان از مقادیر محدود کننده مورد نظر (تغییر مکان
هدف) و یا در صورت شکست مکانیزم شکست و نایابیداری سازه قبل از دستیابی به
این تغییر مکان هدف، از ادامه تحلیل جلوگیری بعمل می آید.

۵- ترسیم نمودار ظرفیت سازه :

نمودار برش پایه ساختمان در مقابل
تغییر مکان گره کنترل در مراحل
 مختلف بارگذاری برای باسخ غیر
خطی سازه، ترسیم می شود (تغییرات
در شبی این منحتی نشانده شده تسلیم
اعضاء بیشتری از سازه می باشد).



الف- شکل توزیع مثاشی وارونه آین نامه ۲۸۰۰ (STAT)

ب- شکل توزیع مثاشی وارونه (FEMA)

ج- شکل توزیع مستطیلی (RECT)

د- شکل توزیع بدست آمده از تحلیل دینامیکی طیفی مدلها (SPEC)

ه- شکل توزیع ذوزنقه‌ای برابر متوسط بندهای (الف) و (ج) (TRAP)

و- شکل توزیع آین نامه ۷۱ (JAPN)

ز- شکل توزیع بدست آمده از ترکیب SRSS مودهای ارتعاش سازه که در ضریب مشارکت

مودی خود ضرب شده‌اند (SMIM)

ح- شکل توزیع بدست آمده از توزیع نیروهای جانی طبقات ناشی از تحلیل شده طیفی مدل

ساختمان پرشی هر یک از مدل‌ها (CMM)

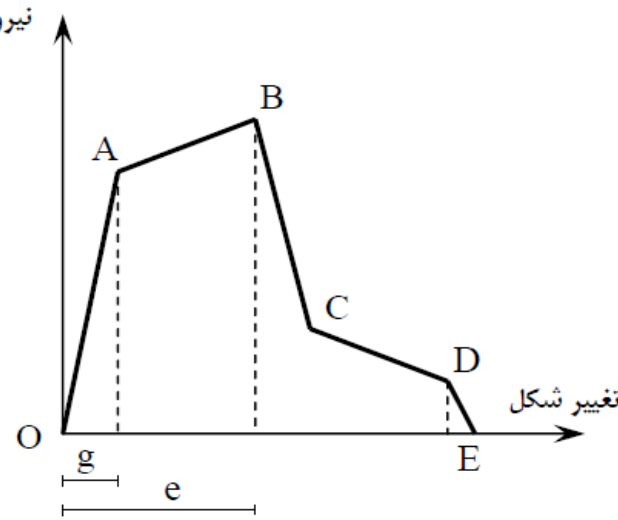


در این روش، سازه طراحی شده تحت بارهای مونوتونیک افزایشی با استفاده از یک یا چند الگوی بار از پیش تعیین شده قرار می‌گیرد. این الگوهای بار چنان در نظر گرفته می‌شوند که توزیع بار جانبی مطابق شرایطی باشد که سازه تحت زلزله طرح قرار می‌گیرد. در چنین شرایطی تغییر شکلها غیر ارجاعی قابل توجهی حاصل می‌گردند.

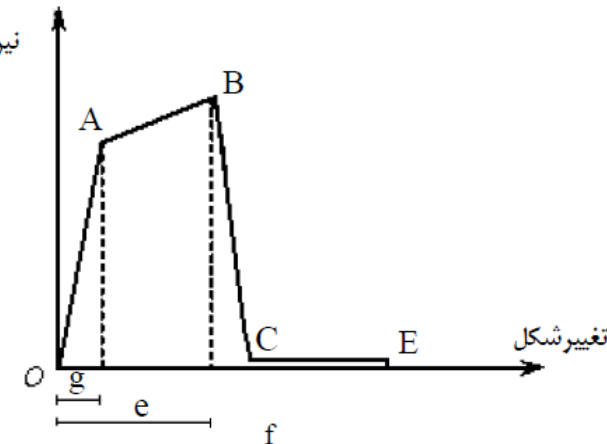
و در تغییر
باز" انجام
سب تغییر
ص تجاوز
و مطلوب

مبناً این روش تحلیل استاتیکی غیرخطی سازه تحت اثر بارهای جانبی افزایش یابنده است و مهمترین نتیجه این تحلیل ، تعیین منحنی بار- تغییرمکان یا منحنی ظرفیت سازه می‌باشد. از تحلیل استاتیکی غیرخطی بار افزون SPO انتظار می‌رود که اطلاعات مناسبی از نیازهای لرزه‌ای که طی زمین لرزه سطح طراحی به سیستم سازه‌ای و اجزای آن اعمال می‌گردد، ارائه نماید. در تحلیل SPO فرض می‌شود که تنها یک مود ارتعاشی بر رفتار کل سازه حاکم بوده و شکل این مود نیز در طول تاریخچه زمانی ثابت می‌ماند. گرچه هر دو این فرض‌ها نادرست می‌باشند، لیکن تحت شرایطی می‌توان با استفاده از تحلیل‌های استاتیکی غیر خطی بار افزون به تقریب‌های بسیار خوبی از رفتار و نیازهای لرزه‌ای سازه‌ها دست یافت.

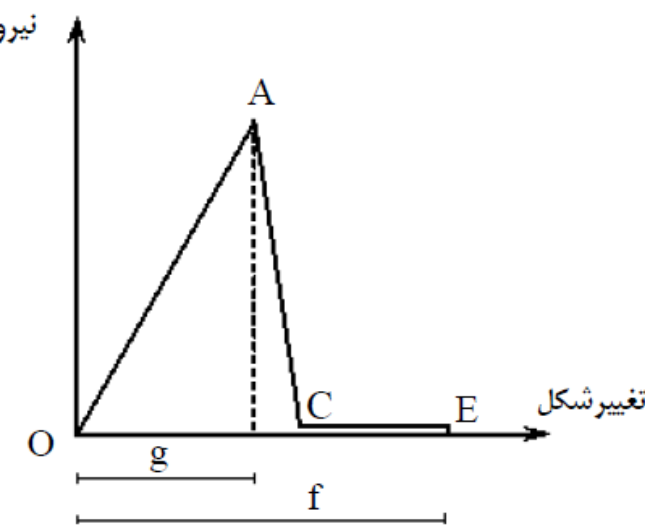




شکل(۳-۱): منحنی رفتار جزء شکل پذیر



شکل(۳-۲): منحنی رفتار جزء نیمه شکل پذیر



شکل(۳-۳): منحنی رفتار جزء شکننده

در تحلیل بار افزون موارد بسیاری وجود دارد که بر روی تخمین تقاضای لرزه‌ای روش تأثیر میگذارد. در این روش توجه و ملاحظه بر روی دو مساله اساسی است

الف) تغییر مکان هدف

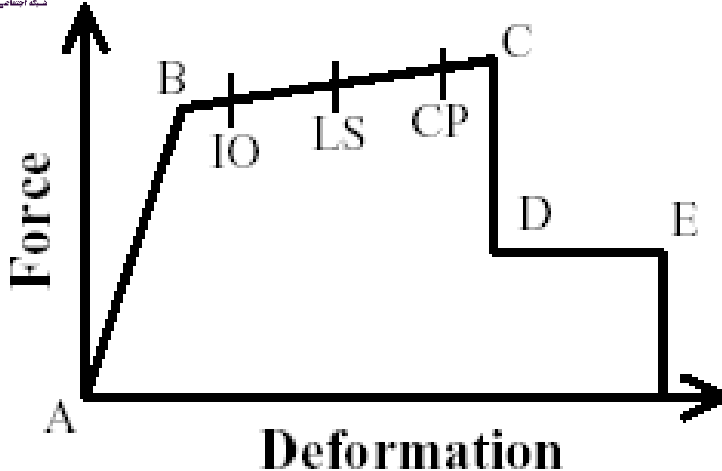
ب) شکل توزیع بار جانبی.

- در تحلیل بار افزون با مقایسه مقاومت و تغییر مکان تقاضا براساس زلزله‌های طرح با ظرفیت‌های موجود در سطوح عملکردی (PERFORMANCE LEVELS) مورد نظر، رفتار مورد انتظار سازه تخمین زده می‌شود .

شکل توزیع بار جانبی: انتخاب شکل توزیع بار مناسب در بسیاری مواقع مهمتر از تعیین دقیق تغییر مکان هدف میباشد. در حقیقت شکل بارگذاری جانبی نشان دهنده و عامل توزیع نیروهای اینرسی در یک زلزله طرح میباشد. در بسیاری مواقع شکل‌های مختلف بارگذاری و نتایج آن بر روی تحلیل بارافزون منجر به پاسخ‌های گمراه کننده‌ای از سازه بخصوص در ساختمان‌های با پریود اصلی بالا میشود.

به منظور بررسی اثر شکل‌های توزیع بار مختلف، چندین شکل توزیع بار جانبی جهت استفاده در تحلیل بارافزون انتخاب گردید که عبارتند از:

- الف- شکل توزیع مثلثی وارونه آین نامه ۲۸۰۰ ایران و (STAT) ، UBC-94
- ب- شکل توزیع مثلثی وارونه (FEMA) ، FEMA-273
- ج- شکل توزیع مستطیلی (RECT) ، FEMA-273
- د- شکل توزیع بدست آمده از تحلیل دینامیکی طیفی مدل‌ها (SPEC)
- ه- شکل توزیع ذوزنقه‌ای برابر متوسط بندهای (الف) و (ج) (TRAP)
- و- شکل توزیع آین نامه BSL ژاپن (JAPN)
- ز- شکل توزیع بدست آمده از ترکیب SRSS مودهای ارتعاش سازه که در ضرب مشارکت مودی خود ضرب شده‌اند (SMM)
- ح- شکل توزیع بدست آمده از توزیع نیروهای جانبی طبقات ناشی از تحلیل شبه طیفی مدل ساختمان برشی هر یک از مدل‌ها (CMM)



The ATC-40 and FEMA-273 documents have developed modeling procedures, acceptance criteria and analysis procedures for pushover analysis. These documents define SAP2000 static pushover analysis capabilities, which are fully integrated into the program, allow quick and easy implementation of the pushover procedures prescribed in the ATC-40 and FEMA-273 documents for both two and three-dimensional buildings.

The ATC-40 and FEMA-273 documents have developed modeling procedures, acceptance criteria and analysis procedures for pushover analysis. These documents define force-deformation criteria for hinges used in pushover analysis. As shown in Figure 1, five points labeled A, B, C, D, and E are used to define the force deflection behavior of the hinge and three points labeled IO, LS and CP are used to define the acceptance criteria for the hinge. (IO, LS and CP stand for Immediate Occupancy, Life Safety and Collapse Prevention respectively.) The values assigned to each of these points vary depending on the type of member as well as many other parameters defined in the ATC-40 and FEMA-273 documents.

The ATC-40 and FEMA-273 documents have developed modeling procedures, acceptance criteria and analysis procedures for pushover analysis. These documents define SAP2000 static pushover analysis capabilities, which are fully integrated into the program, allow quick and easy implementation of the pushover procedures prescribed in the ATC-40 and FEMA-273 documents for both two and three-dimensional buildings.



Capacity & Demand Spectrum Method for Finding the Performance Point (ATC¹-40 Method)

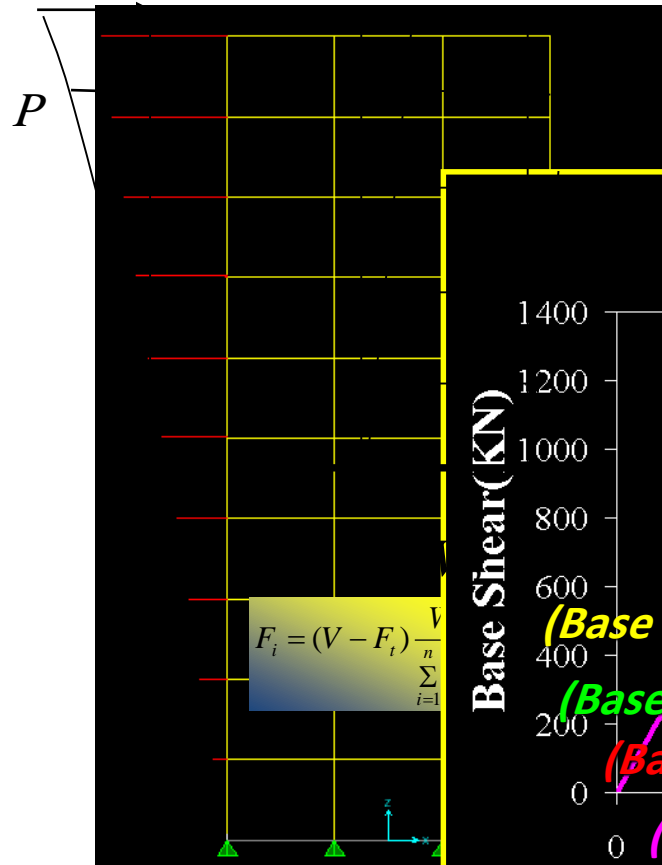
1. Applied Technology Council



آنالیز استاتیکی غیرخطی فراینده

Pushover Analysis

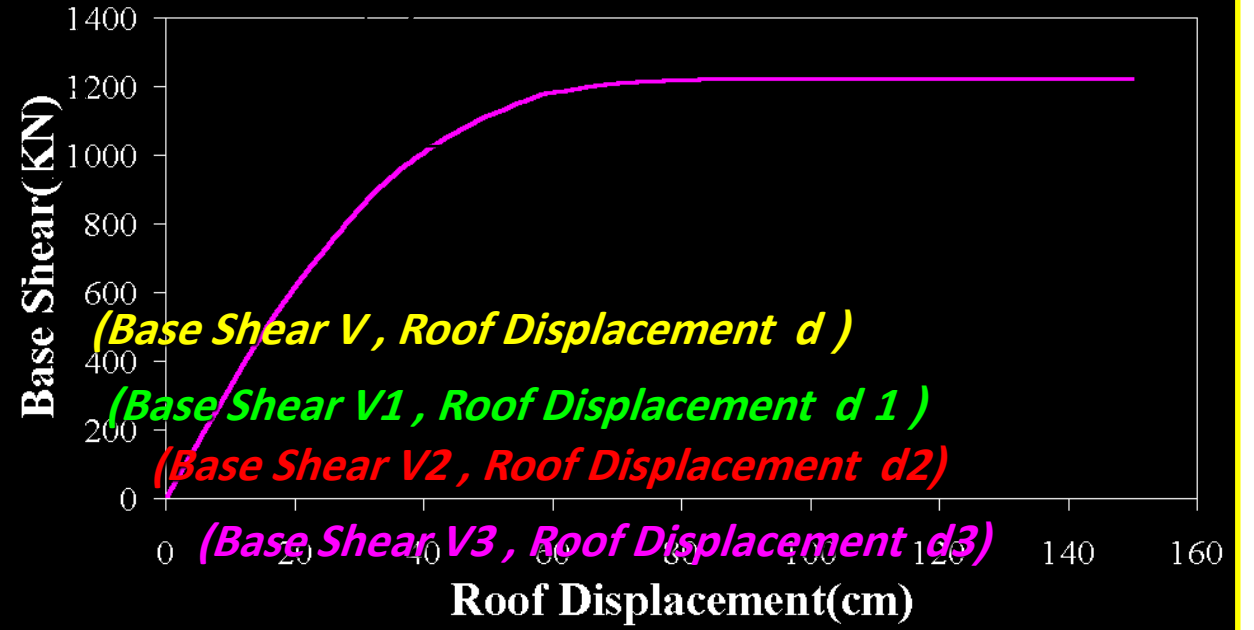
Distribution of Base Shear



Roof Displacement



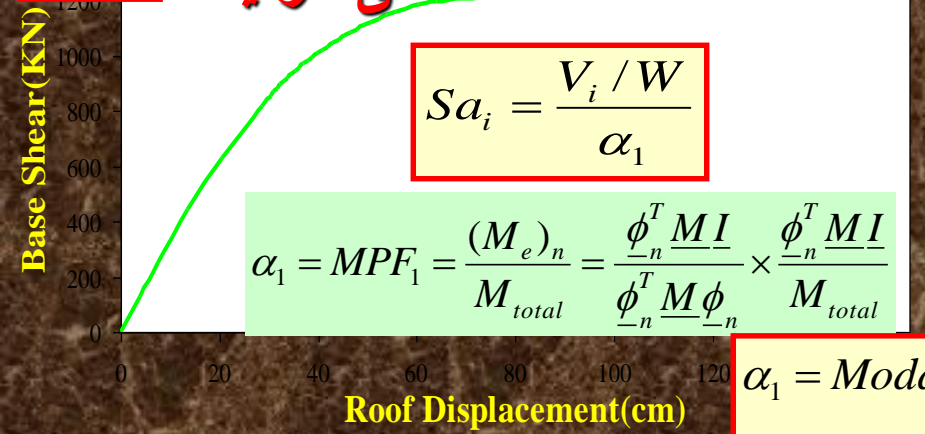
Pushover Analysis, Capacity Curve



$$0r \frac{Sa_n}{g}$$

Pushover Analysis, Capacity Curve

منحنی ظرفیت



$$[K - \omega_n^2 M] \times \underline{\phi}_n = 0$$

$$\omega_{n1}, \omega_{n2}, \dots, \omega_{nn}$$

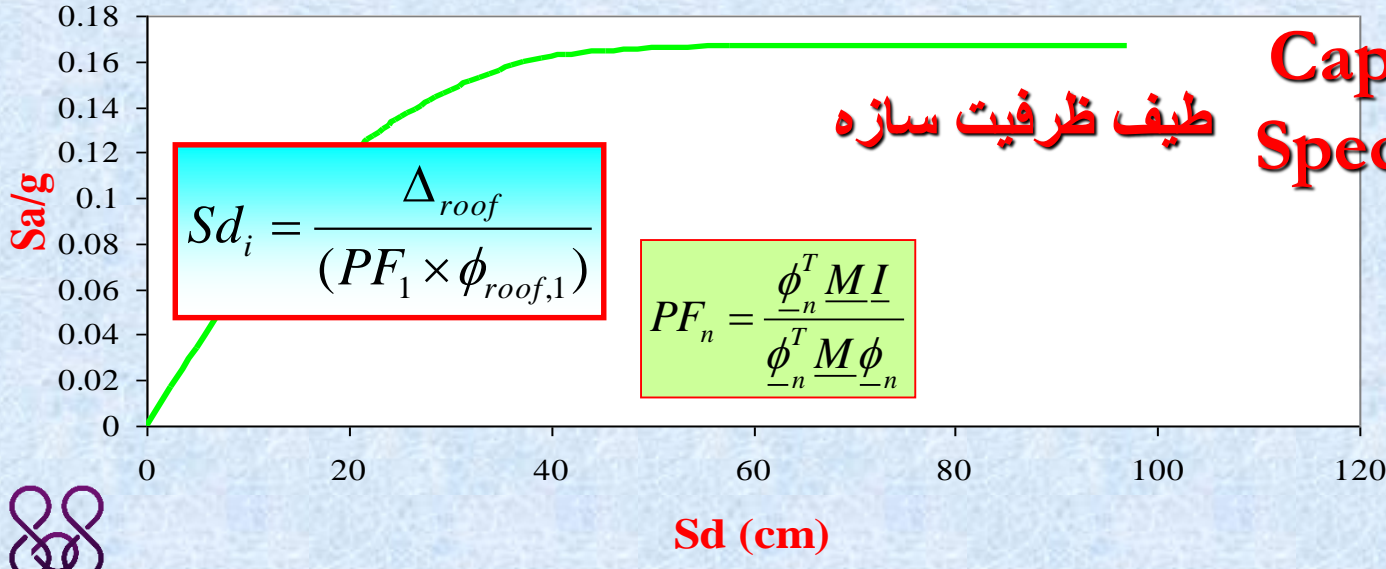
$$\underline{\phi} = [\underline{\phi}_1, \underline{\phi}_2, \dots, \underline{\phi}_n]$$

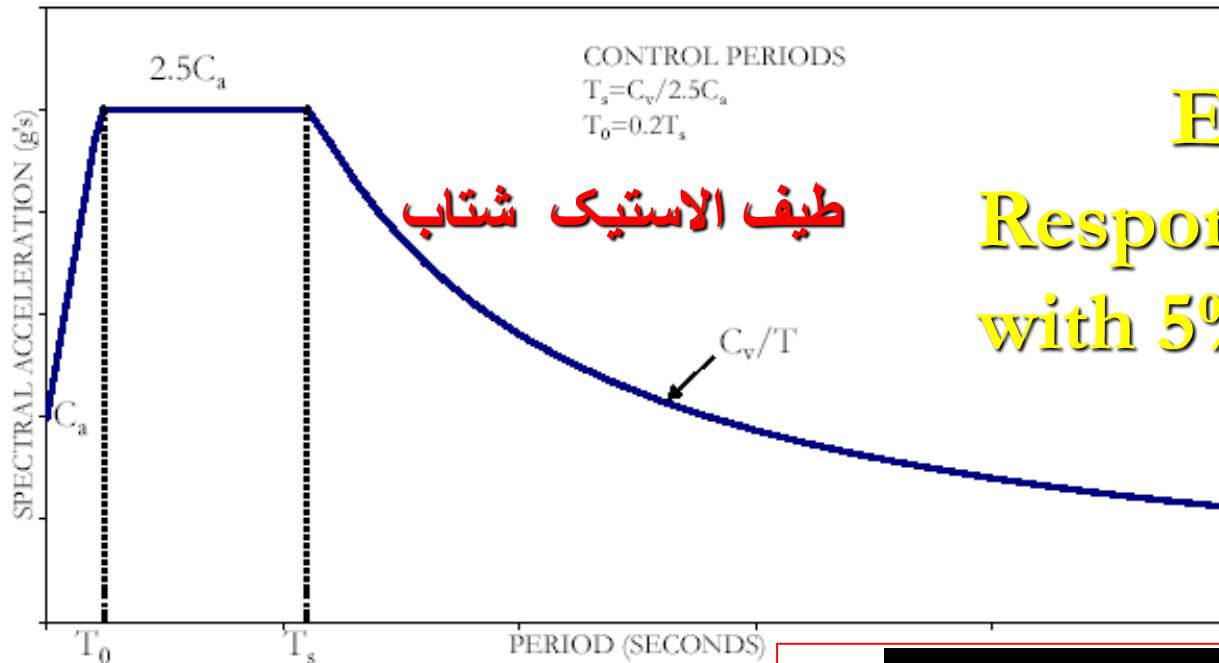
$$T_1, T_2, \dots, T_n$$

α_1 = Modal mass coefficient for the first natural mode

PF_1 = Modal participation factor for the first natural mode

Capacity Spectrum





Elastic Response Spectra with 5% Damping

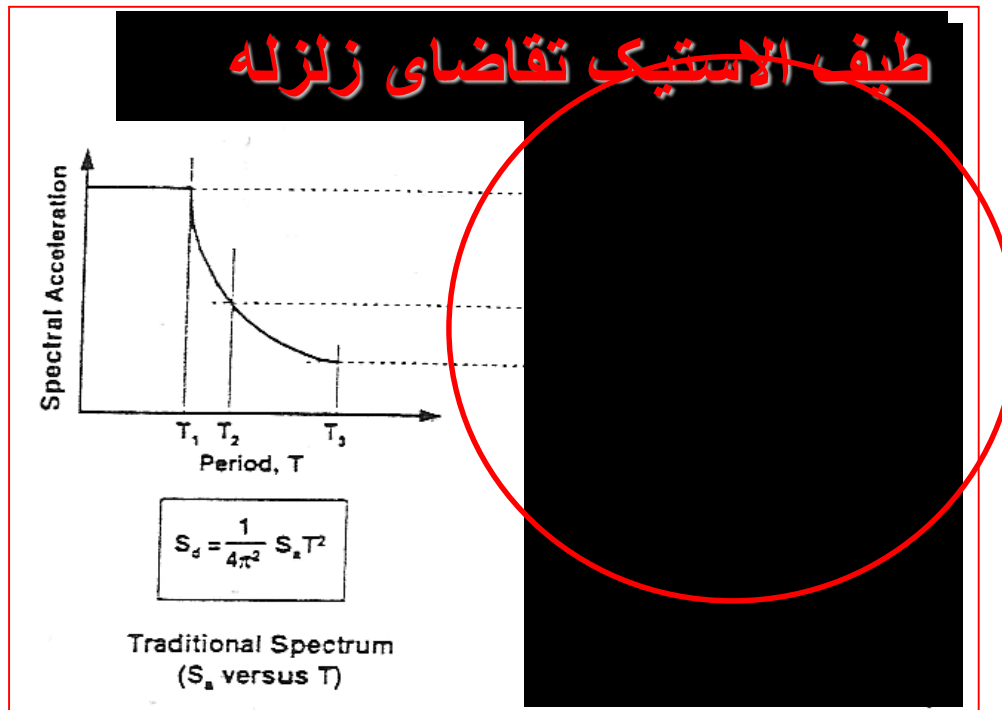
$$Sa_n = \omega_n^2 Sd_n = \left(\frac{2\pi}{T_n^2} \right)^2 Sd_n$$

$$Sa_n = \omega_n^2 Sd_n$$

$$\Rightarrow Sd_n = \left(\frac{T_n^2}{4\pi^2} \right) Sa_n$$

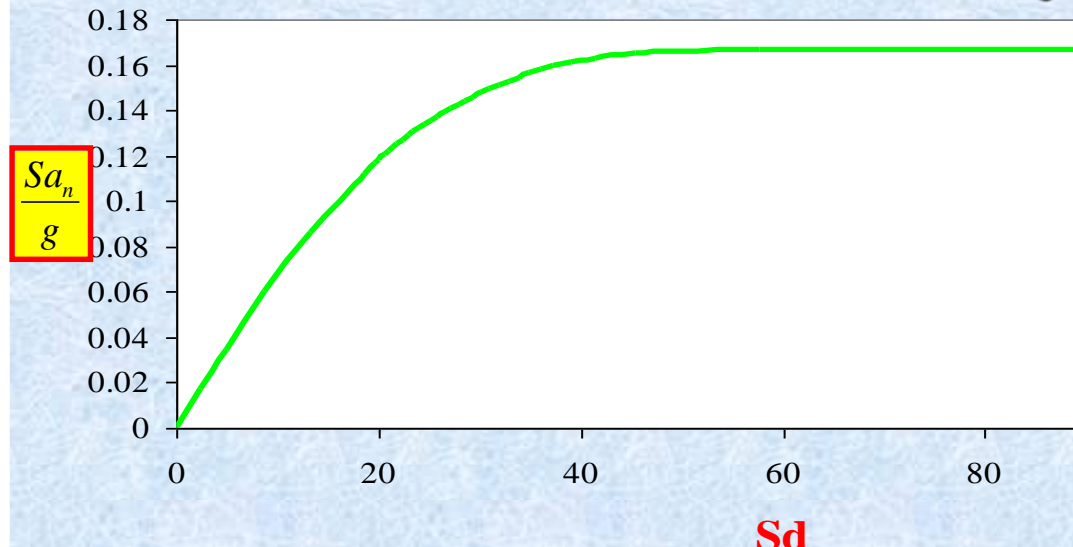
1. Acceleration-Displacement Response Spectrum

Engineering Seismology
University of Colorado Boulder



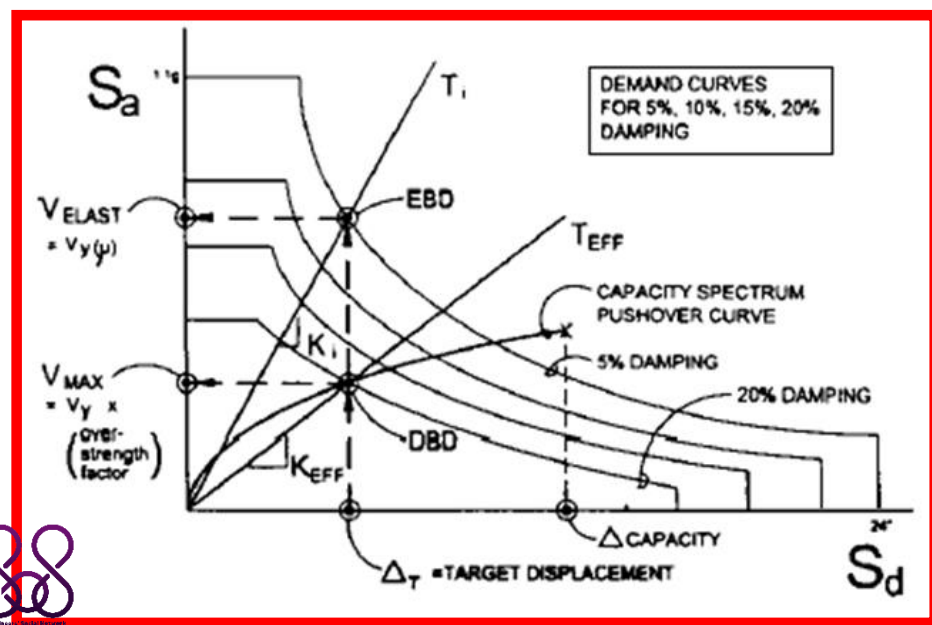
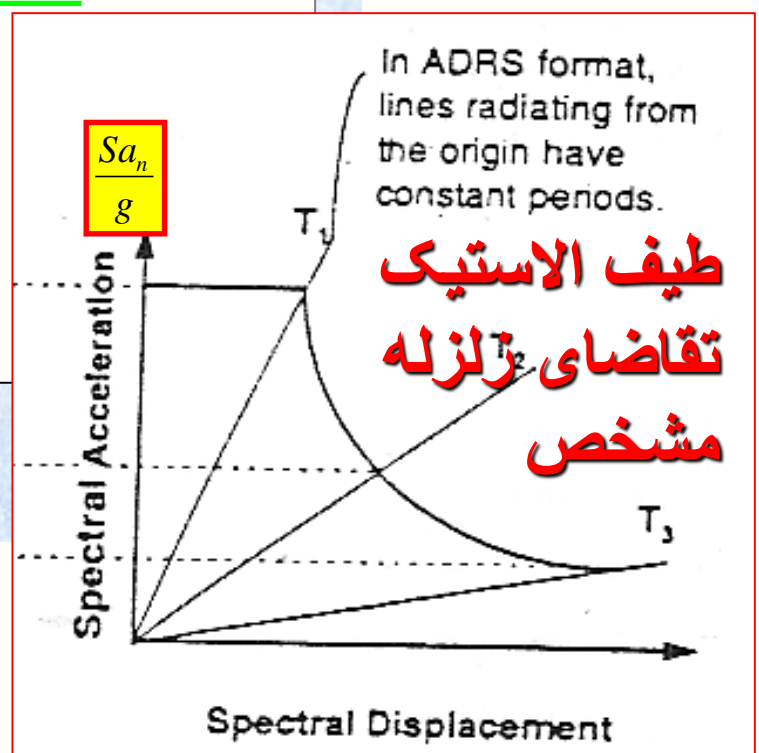
Capacity Spectrum

طیف ظرفیت سازه



In ADRS format,
lines radiating from
the origin have
constant periods.

طیف الاستیک
تفاضلی زلزله
مشخص



$$S_{a_n} = \omega_n^2 S_{d_n} \Rightarrow S_{d_n} = \left(\frac{T_n^2}{4\pi^2} \right) S_{a_n}$$

$$\Rightarrow T_n = 2\pi \sqrt{\frac{S_{d_n}}{S_{a_n}}}$$

Estimation of Damping & Reduction of 5% Damped Response Spectrum

$$\beta_{eff} = K\beta_0 + 0.05$$

$\beta_{eff} = 5\% \text{ Viscous Damping Inherent in the Structure (assumed to be constant)}$

β_0 = Hysteretic Damping Represented as Equivalent Viscous Damping

$$\beta_0 R_A = \frac{1}{4\pi} \frac{E_D}{B_S E_{S0}} \frac{3.21 - 0.68 \ln(\beta_{eff})}{0.12}$$

E_D = Energy Dissipated by Damping

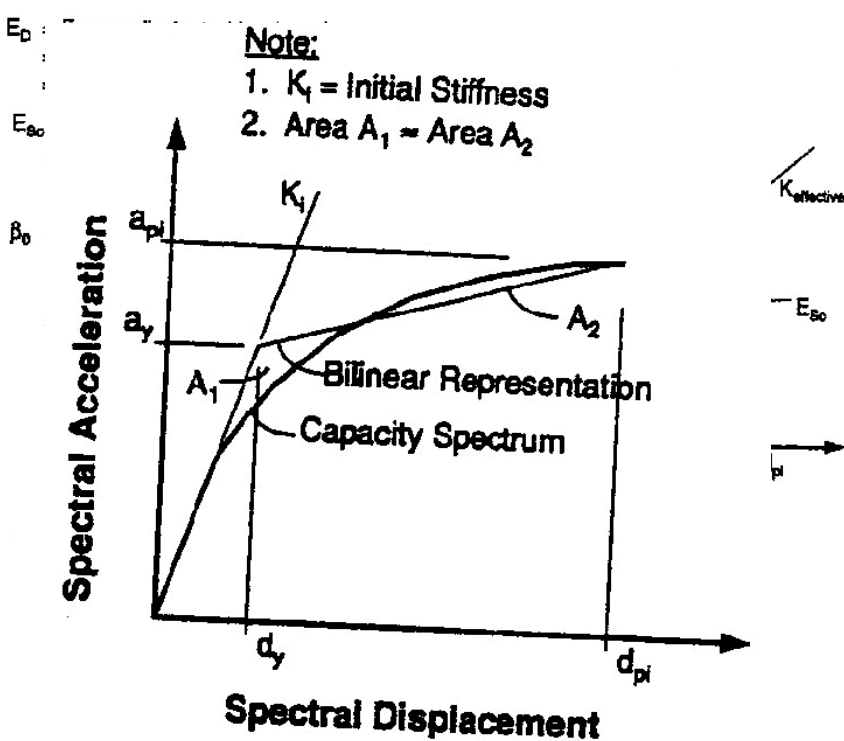
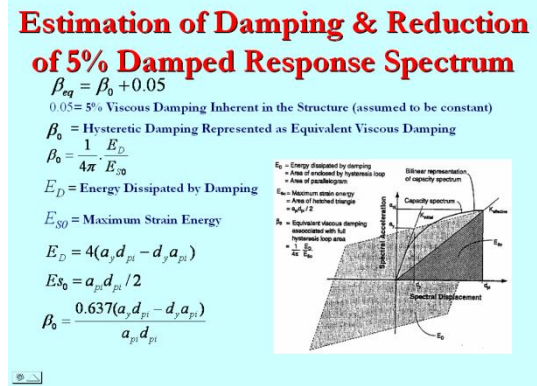
$$SR_V = \frac{1}{E_{S0}} = \frac{0.4}{B_S} = \frac{1}{1.65}$$

E_{S0} = Maximum Strain Energy

$K_E Damping Modification Factor$

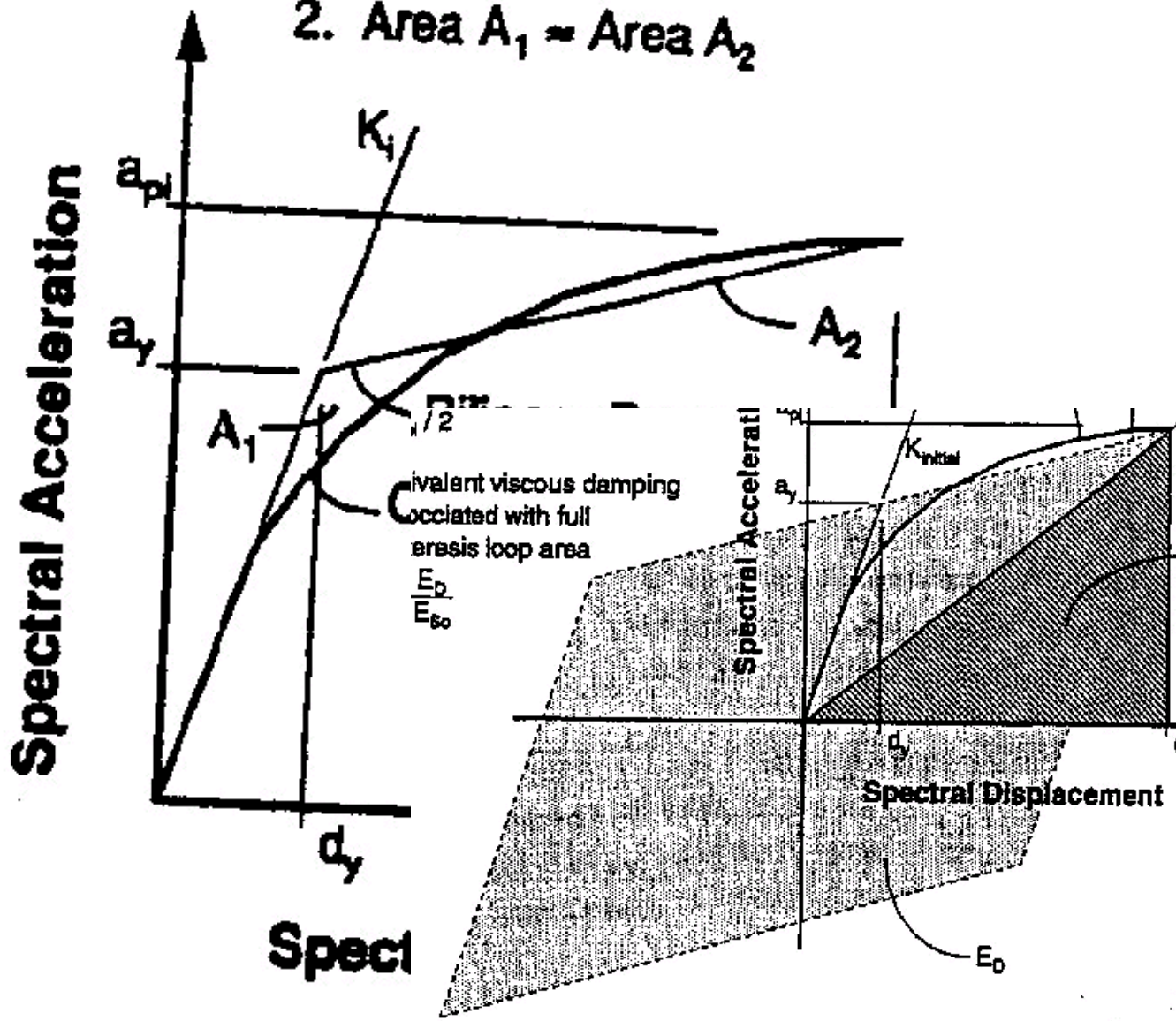
$$E_{S0} = a_{pi} d_{pi} / 2$$

$$\beta_0 = \frac{0.637(a_y d_{pi} - d_y a_{pi})}{a_{pi} d_{pi}}$$



Note:

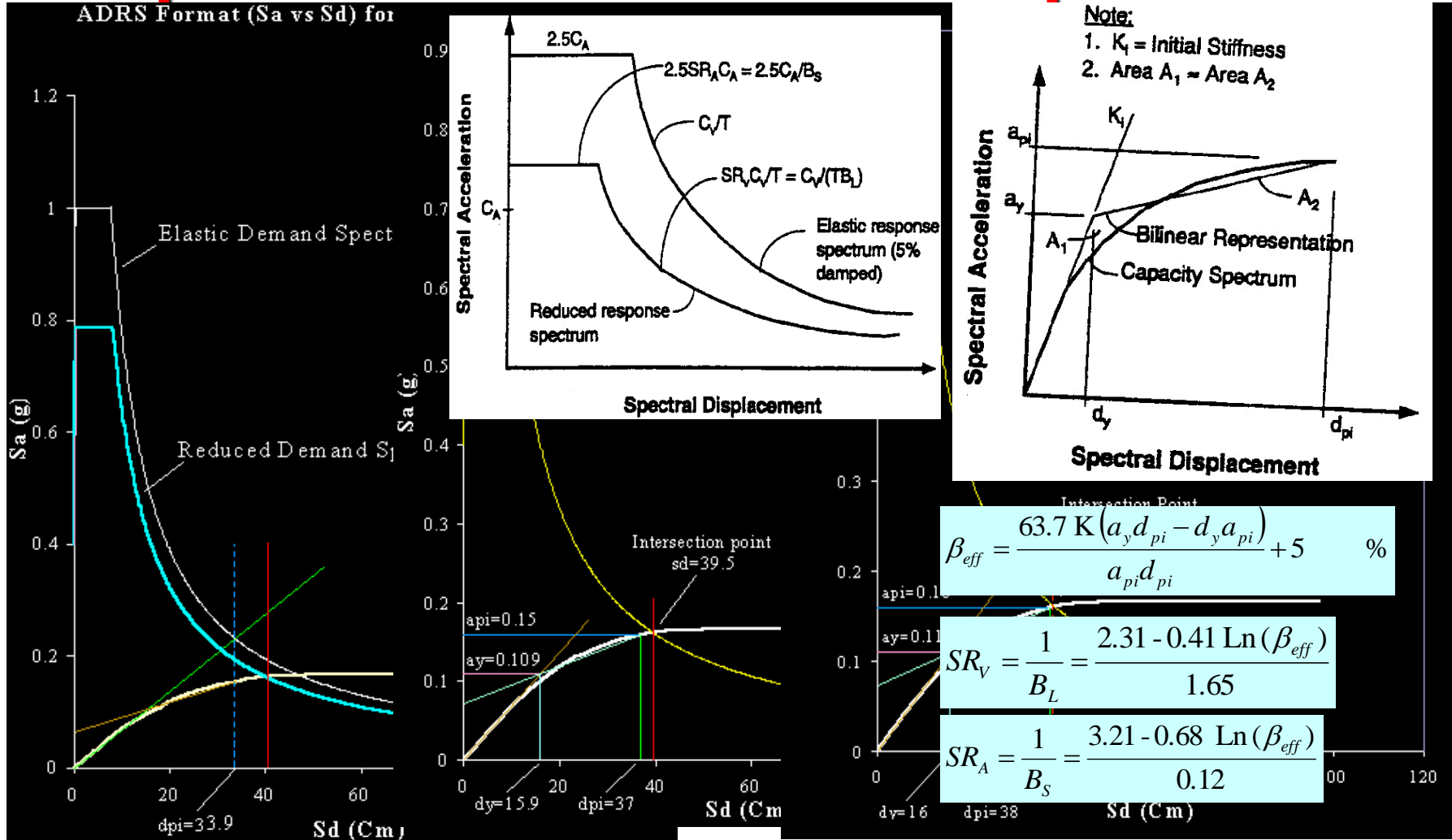
1. K_i = Initial Stiffness
2. Area A_1 = Area A_2





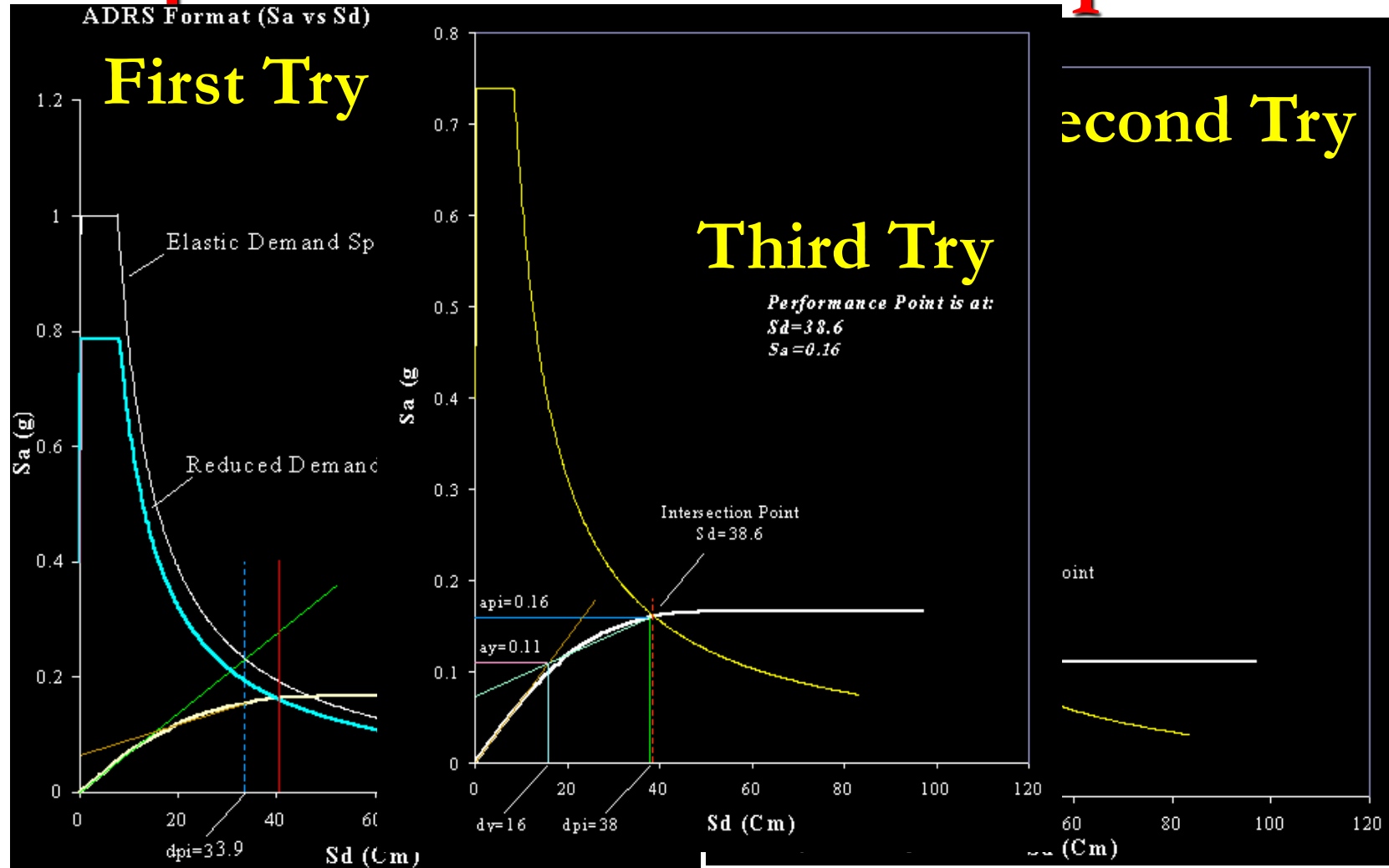
Intersection of Capacity Spectrum & Demand Spectrum

Spectrum & Demand Spectrum



Intersection of Capacity

Spectrum & Demand Spectrum



تعیین نقطه عملکرد

تقاطع طیف ظرفیت و طیف تقاضا

روش ضرایب تعییر مکان

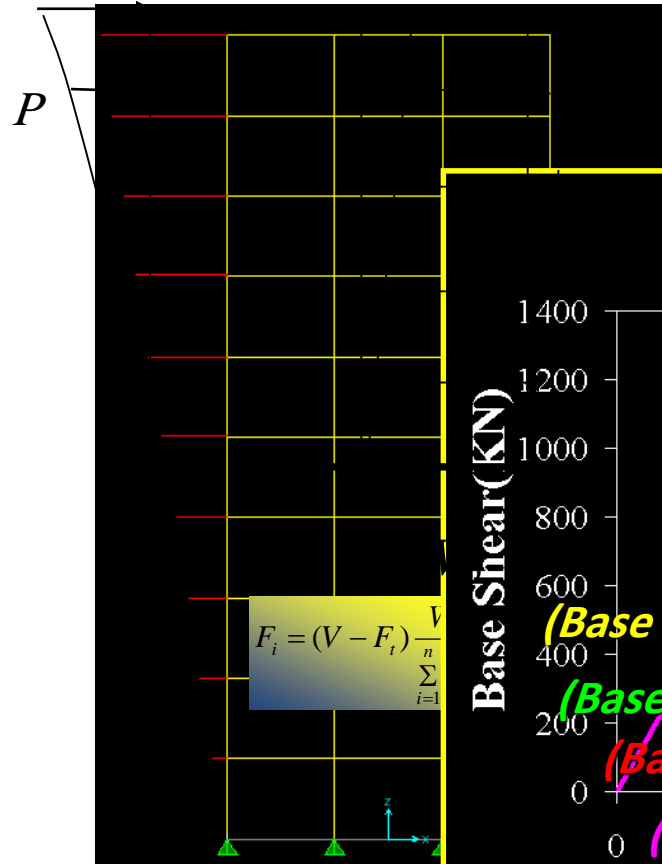
FEMA 356

Calculating Demand Displacement Using
the
Displacement Coefficient Method



منحنی ظرفیت

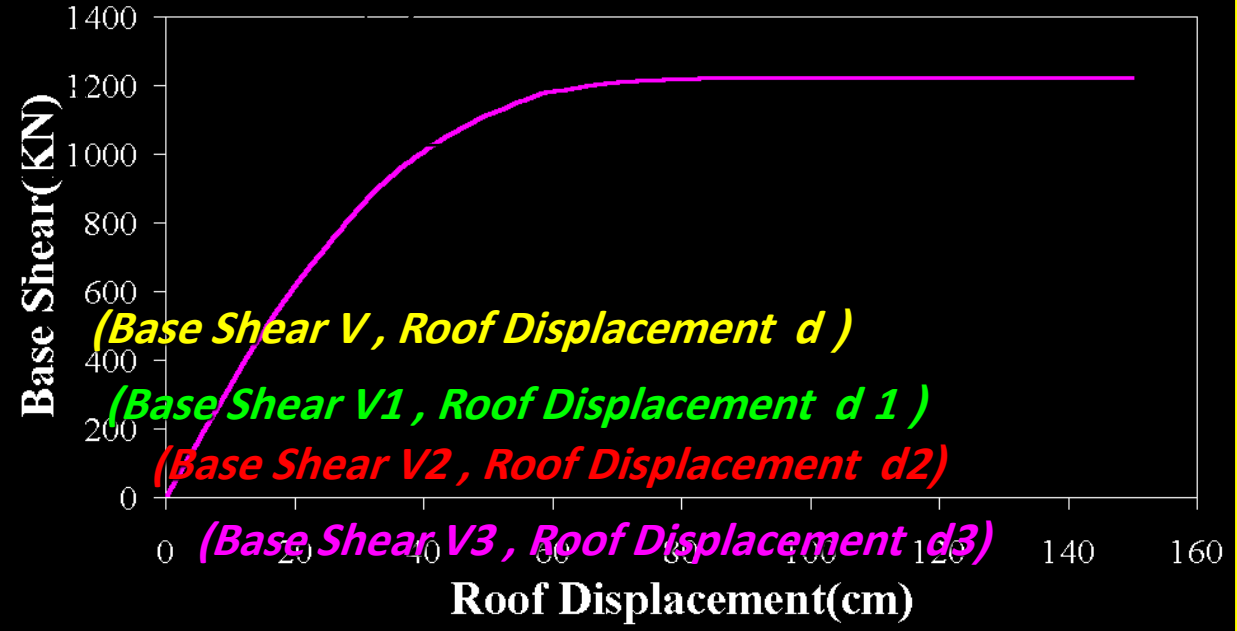
Distribution of Base Shear



Roof Displacement



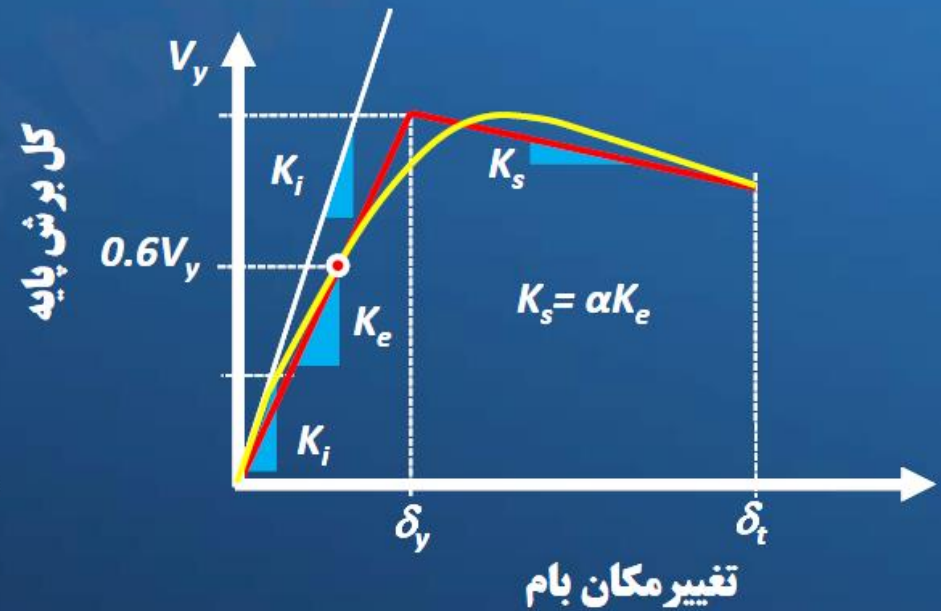
Pushover Analysis, Capacity Curve



تغییر مکان در تراز بام

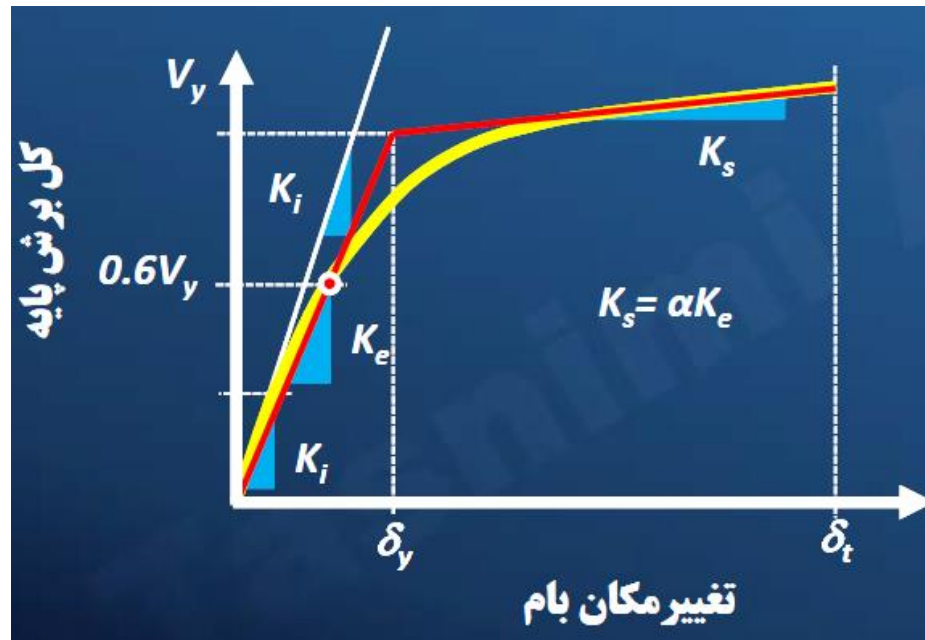
روش ضرایب تغییر مکان

۱- تهیه و ترسیم منحنی دوخطی طیف ظرفیت



دو شرط مهم

۱. سطح زیر منحنی پوش آور و نمایش دو خطی آن با هم برابر باشد
۲. مختصات نقطه تقاطع خط رسم شده با شیب K_e و منحنی پوش آور روی محور برش پایه برابر با $0.6V_y$ باشد.



روش ضرایب تغییر مکان

۲- زمان تناوب طبیعی محاسبه شود

زمان تناوب طبیعی موثر

$$T_e = T_i \sqrt{\frac{K_i}{K_e}}$$

زمان تناوب طبیعی الاستیک در جهت مورد نظر که با روش تحلیل دینامیک الاستیک محاسبه شده است

$$\left\{ \begin{array}{l} = K_i \\ = K_e \end{array} \right. \begin{array}{l} \text{سختی جانبی الاستیک ساختمان در جهت مورد نظر} \\ \text{سختی موثر جانبی ساختمان در جهت مورد نظر} \end{array}$$

بدست آمده از مرحله قبل

روش ضرایب تغییر مکان

۳- محاسبه تغییر مکان هدف

$$\delta_t = C_0 C_1 C_2 C_3 S_a \frac{T_e^2}{4\pi^2} g$$

شتاب طیفی به ازای زمان تناوب اصلی موثر $= S_a$

زمان تناوب طبیعی موثر، محاسبه شده در گام دوم $= T_e$

ضریب اصلاح برای ارتباط تغییر مکان طیفی سیستم یک درجه آزاد به تغییر مکان با مسیستم چند درجه آزاد $= C_0$

ضریب اصلاح برای ارتباط حداقل تغییر مکان غیر الاستیک به تغییر مکان محاسبه شده برای پاسخ الاستیک $= C_1$

ضریب تأثیر کاهش سختی و مقاومت اعضای سازه‌ای بر تغییر مکان‌ها بر رفتار غیر ارجاعی $= C_2$

ضریب اصلاح برای ارتباط تغییر مکان طیفی سیستم یک درجه آزاد به تغییر مکان با مسیستم چند درجه آزاد $= C_3$

This coefficient accounts for the difference between the roof displacement of an MDOF building and the displacement of the equivalent SDOF system.

Table 3-2 Values for Modification Factor C_0 ¹

Number of Stories	Shear Buildings ²		Other Buildings
	Triangular Load Pattern (1.1, 1.2, 1.3)	Uniform Load Pattern (2.1)	
1	1.0	1.0	1.0
2	1.2	1.15	1.2
3	1.2	1.2	1.3
5	1.3	1.2	1.4
10+	1.3	1.2	1.5

1. Linear interpolation shall be used to calculate intermediate values.
2. Buildings in which, for all stories, interstory drift decreases with increasing height.

2:Building in which, for all stories, inter-story drift decreases with increasing height



روش ضرایب تغییر مکان

مقادیر ضریب اصلاح (C_v) :

$$T_e < T_s \rightarrow C_v = \frac{1}{R} \left[1 + [R - 1] \frac{T_s}{T_e} \right]$$

- $R = \frac{W}{V_y} C_m S_a$ = R نسبت مقاومت
- $= S_a$ = شتاب طیفی به ازای زمان تناوب اصلی موثر
- $= W$ = وزن کل ساختمان (وزن مرده و درصدی از سربار زنده)
- $= C_m$ = ضریب جرم مودی که از جدول دیربسط یا از تحلیل دینامیکی محاسبه می شود
- $= T_s$ = زمان تناوب مشترک بین دو ناحیه شتاب ثابت و سرعت ثابت در طبقه بازتاب طرح استادارد ۱۴۰۰ ایران

This coefficient accounts for the observed difference in peak displacement response amplitude for nonlinear response as compared with linear response.

Table 3-1 Values for Effective Mass Factor C_m ¹

No. of Stories	Concrete Moment Frame	Concrete Shear Wall	Concrete Pier-Spandrel	Steel Moment Frame	Steel Concentric Braced Frame	Steel Eccentric Braced Frame	Other
1-2	1.0	1.0	1.0	1.0	1.0	1.0	1.0
3 or more	0.9	0.8	0.8	0.9	0.9	0.9	1.0

1. C_m shall be taken as 1.0 if the fundamental period, T , is greater than 1.0 second.

Effective mass factor from Table 3-1. Alternatively, C_m taken as the effective model mass calculated for the fundamental mode using an Eigenvalue analysis shall be permitted

If the hysteresis loops exhibit significant pinching or stiffness deterioration, the energy absorption and dissipation capacities decrease, and larger displacement excursions should be expected.

Table 3-3 Values for Modification Factor C_2

Structural Performance Level	$T \leq 0.1$ second ³		$T \geq T_S$ second ³	
	Framing Type 1 ¹	Framing Type 2 ²	Framing Type 1 ¹	Framing Type 2 ²
Immediate Occupancy	1.0	1.0	1.0	1.0
Life Safety	1.3	1.0	1.1	1.0
Collapse Prevention	1.5	1.0	1.2	1.0

1. Structures in which more than 30% of the story shear at any level is resisted by any combination of the following components, elements, or frames: ordinary moment-resisting frames, concentrically-braced frames, frames with partially-restrained connections, tension-only braces, unreinforced masonry walls, shear-critical, piers, and spandrels of reinforced concrete or masonry.
2. All frames not assigned to Framing Type 1.
3. Linear interpolation shall be used for intermediate values of T .



Frame type 1: structures in which more than 30% of the story shear at any level is resisted by any combination of the following components, elements or frames: ordinary moment-resisting frames, concentrically-braced frames, ..

P-Δ effects caused by gravity loads acting through the deformed configuration of a building will always result in an increase in lateral displacements. Static P-Δ effects can be captured using procedures set

ضریب اصلاح (C_r) :

if $\alpha > \cdot$, Then $\Rightarrow C_r = 1$

if $\alpha < \cdot$, Then $\Rightarrow C_r = 1 + \frac{|\alpha| [R - 1]}{T_e^{1/5}}$

سختی مثبت $\alpha > \cdot$

سختی منفی $\alpha < \cdot$



مراجع

- جزوه مهندسی زلزله دکتر فرهاد دانشجو
- جزوه بهسازی لرزه‌ای دکتر عباسعلی تسینیمی
- نشریه ۳۶۰
- طراحی و بهسازی لرزه‌ای سازه‌ها بر اساس سطح عملکرد (رامین تقی نژاد)
(Federal Emergency Management Agency) FEMA 356
- (Applied Technology Council) ATC40
-



بيان

